篇 縍

肝内胆管囊腺瘤一 例及文献复习

广州医科大学附属第三医院放射科 (广东 广州 510150)

刘利姗 宋 亭 黄建威

【关键词】肝内; 胆管 【中图分类号】R657.4

【文献标识码】D

DOI: 10. 3969/j. issn. 1672-5131. 2018. 01. 046

通讯作者:宋亭

胆管囊腺瘤(biliary cystadenoma, BCA)是一种较少见的具有潜在 恶变倾向以及较高的复发率的良性肿瘤, 其起病缓慢, 早期临床症状常 无特异性,易误诊为肝囊肿。本文回顾性分析我院一例经病理证实为肝 内胆管囊腺瘤患者的临床、影像及病理学资料,旨在提高对该病的认 识。

临床资料

女,59岁,因"皮肤瘙痒1周,尿黄、身目黄染5天"入院:患 者既往有高血压、2型糖尿病及慢性胰腺炎病史;查体:全身皮肤粘 膜、巩膜轻度黄染, 剑突下扪及肿块, 大小约8cmx8cm, 质软, 边界清 楚, 无压痛, 莫非氏征阴性, 麦氏点无压痛。尿液分析提示白细胞酯 酶2+, 胆红素(BIL)3+, 尿白细胞78个/ul, 肝功能检查提示: 总胆红 素(T BILI) 261. 3umo1/L(参考范围3.4-17.1umo1/L), 直接胆红素(D BIL) 212. 27umo1/L(参考范围0-5. 1umo1/L),碱性磷酸酶(ALP) 163. 2U/ L(参考范围20-135 U/L), 谷氨酰转移酶(GGT)244.8 U/L(参考范围7-45 U/L): 癌胚抗原、糖类抗原199及甲胎蛋白均未见异常。腹部彩超提示 右上腹与剑突之间多房囊性肿物。

腹部CT检查显示肝左叶一多房囊性肿块影,边界清楚,大小约10.6 cm×15.3cm×16.3cm,囊内可见多发大小不等小囊及分隔,囊壁及分隔 厚度较均匀,并可见多发结节状钙化,增强扫描囊壁及分隔轻度强化, 其内液性成分未见明显强化、邻近肝总管受压变窄、肝内胆管多发轻度 扩张, 见图1-4。

腹部MRI检查显示肝左叶巨大囊性肿块影,囊壁结构清楚,囊内可 见多发小囊, 部分囊壁稍增厚, 大部分囊液T1WI呈低信号, T2WI呈高信 号,其中一小囊腔内囊液呈短T1长T2信号,囊壁及分隔T1WI呈稍高信 号, T2WI呈低信号, 增强扫描囊液无明显强化, 囊壁及分隔轻度强化, 强化程度低于正常肝实质,邻近肝总管受压变窄,其以上肝内胆管多 发轻度扩张。影像诊断提示肝包虫病与肝内胆管囊腺瘤相鉴别, 见图

术前肝包虫血清抗体检测阴性。手术探查: 肝左叶见一10cm×15cm ×16cm囊性肿物突出于肝脏脏面,肝总管受压,肝内胆管轻度扩张;于 囊肿菲薄处穿刺,吸出墨绿色浑浊脓性囊液约1000m1,囊肿内注入10% 氯化钠浸泡,超声刀切除囊肿顶部,肉眼观大囊内有多发小囊,术中冰 冻提示: 肝囊肿。遂行"肝囊肿切开、部分囊肿切除、胆总管切开探 查、T管引流术"。术后病理结果为肝内胆管囊腺瘤。

术后11个月患者复查生化检查提示: 总胆红素(T BILI)77.1umo1/ L(参考范围3.4-17.1umol/L), 直接胆红素(D BIL)I66.97umol/L(参考 范围0-5. 1umo1/L), 丙氨酸氨基转氨酶(ALT)209. 6U/L(参考范围7-40U/ L), 天冬氨酸氨基转氨酶(AST)116.2U/L(参考范围13-35U/L), 碱性 磷酸酶ALP324.4U/L(参考范围20-135U/L), 谷氨酰转移酶(GGT)1532.7 U/L(参考范围7-45U/L): 糖类抗原199(CA199)503.08U/mL(参考范围 0-37U/ml), 甲胎蛋白、癌胚抗原、血常规、感染四项及大便分析均未 见异常。复查上腹部CT提示肝左叶残留病灶较术前明显增大,肝内胆管 扩张较前明显。再次入院行左半肝切除术,术后病理肉眼观切面呈多

囊性,囊囊不相通,切开可见淡 黄色清亮液体流出;镜下可见囊 壁为高柱状黏液上皮,腔缘有丰 富的包浆,细胞核无异型性,上 皮细胞下方见卵巢基质样细胞(见 图9),病理诊断:肝内胆管囊腺 瘤。术后两年年随访无复发。

2 讨 论

BCA是一种非常少见的良性肿瘤,约占所有胆管囊性肿瘤的5%^[1]。好发于中年女性^[2],发病原因可能与胚胎时期的胆管上皮发育异常相关^[3];病灶多为单发,大多发生于肝内胆管,极少数发生于肝外胆管^[4]。BCA通常生长较缓慢,临床表现无特异性,可因肿瘤体积生长到较大时压迫周围组织出现一些症状,部分病人以黄疸、腹部疼痛就诊,也有部分病人因恶性、呕吐、消瘦或者反

感油腻食物就诊。实验室检查可出现总胆红素、ASL、ALT、ALP升高,部分可有Ca199、CEA轻度升高^[5]。本例为中年女性与该病好发年龄及性别相符,临床症状主要为皮肤黄染,实验室检查总胆红素、直接胆红素及ASL、ALT、ALP均升高,相比于肝脏其他病变,此病例临床表现及实验室检查无明显特异性。

BCA具有发展为胆管囊腺癌 (biliary cystadenocarcinoma, BCAC) 的倾向^[6],治疗方式首选肝叶切除^[7-8]。本病例首次手术术中病理冰冻提示肝囊肿,因此手术仅做囊肿部分切除,术后病理回报为肝内胆管囊腺瘤。术后11个月实验室检查及复查CT均提示肿瘤复发,病灶较术前增大,因而进行第二次病灶及肝左叶切除术,术后恢复良好,2年随访无明

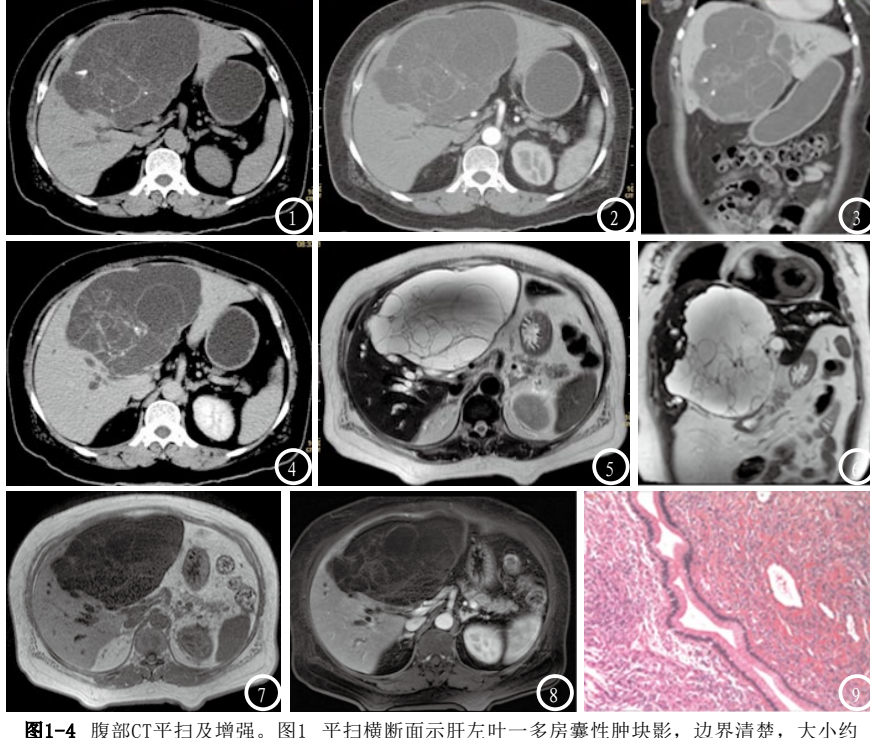


图1-4 腹部CT平扫及增强。图1 平扫横断面示肝左叶一多房囊性肿块影,边界清楚,大小约10.6cm×15.3cm×16.3cm,囊内可见多发大小不等小囊及分隔,囊壁及分隔厚度较均匀,并可见多发结节状钙化;图2 动脉期横断面示增强扫描囊壁及分隔轻度强化,其内液性成分未见明显强化;图3 门静脉期冠状面示囊壁持续性强化,邻近肝总管受压变窄,肝内胆管多发轻度扩张;图4 延迟期横断面示囊壁持续强化。图5-8 腹部MRI平扫及增强。图5 T2WI横断面示肝左叶巨大囊性肿块影,囊壁结构清楚,囊内可见多发小囊,囊液呈高信号,囊壁及分隔呈低信号,邻近肝总管受压变窄,其以上肝内胆管多发轻度扩张;图6 T2WI冠状面;图7 T1WI横断面示案设呈低信号,囊壁及分隔呈稍高信号;图8增强扫描横断面示囊液无明显强化,囊壁及分隔轻度强化。图9 病理图旧×100镜下见囊壁为高柱状黏液上皮,腔缘富含包浆,细胞核无异型性,上皮细胞下方见卵巢基质样细胞。

显再次复发。

BCA的影像表现一般为单发、 多房样囊性肿物,边界清楚,囊 壁规整、其内多可见分隔, 较少 出现钙化及壁结节[9],增强扫描 囊壁及分隔可轻度强化。MRI上 胆管囊腺瘤囊液的信号取决于液 体成分, 例如蛋白的含量或者是 否合并出血, T1WI 囊液的信号强 度随着蛋白的含量增高而增高, T2WI图像囊液的信号强度随着蛋 白含量增高而降低: 合并出血时 血红蛋白等产物也可造成MRI信 号强度的改变[10]。较为常见的是 囊液呈均匀长T1长T2信号影[11], 囊壁及分隔呈等信号或稍长T1、 T2信号,增强扫描轻度强化。当 病灶出现强化的壁结节时, 需要 与BCAC鉴别。本例病灶影像表现 特别之处在于大囊内可见多发小 囊,呈囊中囊结构,较以往报道 的胆管囊腺瘤囊内线性分隔不 同, 且小囊囊壁可见结节状钙化 影,易误诊为肝包虫病。

BCA需要与胆管囊腺癌、单 纯肝囊肿、肝包虫病、囊性转移 瘤、导管乳头状粘液性肿瘤等相 鉴别。①BCAC与BCA的鉴别之处在 于有无壁结节及钙化[12-13],但是 壁结节及钙化均可出现于两者, 因此影像上鉴别困难:②单纯肝 囊肿壁薄且光滑, 无分隔无壁结 节,可钙化,增强扫描无强化, 与以单囊为表现的BCA难以鉴别; ③肝包虫病一般多发,母囊内可 见子囊,可出现"飘带征"、 "双边征",囊壁可见蛋壳样钙 化; 实验室检查外周血嗜酸性粒 细胞增高、肝包虫血清抗体阳性 有助于其诊断。本例病人第一次 CT显示肝内囊性病灶内多发小 囊,小囊囊壁伴有结节状钙化 灶,影像诊断为肝包虫病,但随 后的实验室检查提示外周血嗜酸 性粒细胞无增高、肝包虫血清抗 体阴性,肝包虫病最终被排除。 ④囊性转移瘤一般多发,大小不等,分布不均,且有原发肿瘤强化一致,均强扫描与原发肿瘤强化一致,与BCA不难鉴别。⑤导管乳头状粘液性肿瘤一般发生于胆管,其内可见大量粘液产生,伴随肝内外胆管进行性扩张,当病灶较大时与囊腺瘤难以鉴别,但后者一般与胆管不相通,ERCP、MRCP可清楚的显示病灶与胆管间的关系而有助于鉴别诊断。

BCA镜下肿瘤内衬为单层立方 或高柱状上皮细胞, 包浆丰富, 细胞核无异型性[14]; 85%的病例可 在上皮细胞下方见到卵巢基质细 胞,且仅出现在在女性患者[2,4]; 伴有卵巢基质细胞的患者病程进 展较无卵巢基质细胞的患者缓 慢,术后预后较好[15]。囊腔内含 有黏液样或透明液体, 免疫组化 Ca199、CEA升高^[16]。术中冰冻病 理诊断至关重要,决定手术方式 及病灶切除范围, 以确保诊断准 确,需全面取材。本例病人第一 次手术由于术中取材过少, 冰冻 提示肝囊肿, 因此手术仅作囊肿 摘除术,从而造成病人肿瘤复发 而行第二次手术。

术前BCA的正确诊断对于病人的治疗方式的选择十分重要。由于缺乏典型的临床症状,术中依靠冰冻病理诊断易误诊为单纯肝囊肿,因此最优诊断方法是结合术前超声、CT、MRI和活检化验结果确定手术方案^[8]。总之,中年女性患者以肝脏单发、多囊性占位就诊时,应要考虑到BCA。

参考文献

- [1] Ishak KG, Willis GW, Cummins SD, et al. Biliary cystadenoma and cystadenocarcinoma: report of 14 cases and review of the literature[J]. Cancer, 1977, 39(1): 322-338.
- [2] Devaney K, Goodman ZD, Ishak KG. Hepatobiliary cystadenoma and cystadenocarcinoma: a light microscopic and immunohistochemical study of 70 patients [J]. Am J Surg Pathol, 1994, 18 (11): 1078-1091.
- [3] Hernandez Bartolome MA, Fuerte Ruiz S, Manzanedo Romero I, et al. Biliary cystadenoma[J]. World J Gastroen-terol, 2009, 15 (28): 3573-3575.
- [4] 郝雯颖, 郭明洲, 刘斌, 等. 肝脏囊腺瘤的临床特征附 8 例临床分析 [J]. 胃肠病学和肝病学杂志, 2010, 19 (7): 656-658.
- [5] Delis SG, Touloumis Z, Bakoyiannis A, et al. Intrahepatic biliary cystadenoma: a need for radical resection[J]. Eur J Gastroenterol Hepatol, 2008, 20(1):10-14.
- [6] Tsepelaki A, Kirkilesis I,
 Katsiva V, et al. Biliary
 Cystadenoma of the Liver:
 Case report and systematic
 review of the literature[J].
 Annals of gastroenterology, 2009, 22 (4): 278-283.
- [7] Thomas KT, Welch D, Trueblood A, et al. Effective treatment of biliary cystadenoma [J]. Ann Surg, 2005, 241(5):769-773.
- [8] 陈紫千, 虞磊, 季沅, 等. 肝內胆管囊腺瘤的诊断与治疗(附7例报告)[J]. 中华肝胆外科杂志, 2015, 21(2): 269-270.
- [9] Pojchamarnwiputh S, Na Chiangmai W, Chotirosniramit A, et al.

- Computed tomography of biliary cystadenoma and biliary cystadenocarcinoma [J]. Singapore Med J, 2008, 49 (5): 392-396.
- [10] Lewin M, Mourra N, Honigman I, et al. Assessment of MRI and MRCP in diagnosis of biliary cystadenoma and cystadenocarcinoma [J]. Eur Radiol, 2006, 16(2): 407-413.
- [11] Mortele KJ, Ros PR. Cystic focal liver lesions in the adult: differential CT and MR imaging features [J]. Radiographics, 2001, 21 (4): 895-910.
- [12] 张静, 叶慧义, 蔡幼铨, 等. 肝胆管囊腺瘤及囊腺癌的CT、MRI诊断[J]. 中华胆管外科杂志, 2007, 13(8): 511-514.
- [13]洪勇,严宗伟,夏学文,等.胆管囊腺癌的CT、MRI诊断[J].中国CT和MRI杂志,2008,6(6):50-52.
- [14] Abdul-Al HM, Makhlouf HR, Goodman ZD. Expression of estrogen and progesterone receptors and inhibin-a in hepatobiliary cystadenoma: An immunohistochemical study[J]. Vi rchows Arch, 2007, 450(6):691-697.
- [15] Buetow PC, Buck JL,
 Pantongrag-Brown L, et al.
 Biliary cystadenoma and
 cystadenocarcinoma: clinicalimaging-pathologic correlation
 with emphasis on the importance
 of ovarian stroma[J].
 Radiology, 1995, 196(3): 805-810.
- [16] Koffron A, Rao S, Ferrario M, Abecassis M. Intrahepatic biliary cystadenoma: role of cyst fluid analysis and surgical management in the laparoscopic era[J]. Surgery, 2004, 136 (4): 926-936.

(本文编辑: 汪兵)

【收稿日期】2017-07-10